SÍNTESE E IMPREGNAÇÃO DE TIO2 SOBRE FIBRAS DE CELULOSE PARA UTILIZAÇÃO EM COMPÓSITOS POLIMERICOS INJETADOS/EXTRUSADOS

OSCAR GIORDANI PANIZ¹; JOSE EUCLIDES RODRIGUE BELTRAM², VINÍCIUS GONÇALVES DEON³; LUIZA SANTANA⁴; BRUNO DA SILVEIRA NOREMBERG⁵; GUILHERME MARON⁶; MARGARETE REGINA FREITAS GONÇALVES⁷;

¹ Universidade Federal de Pelotas – oscar.paniz@hotmail.com
² Universidade Federal de Pelotas – joeurobe@gmail.com
³ Instituto Federal de Santa Catarina – vinicius.deon@yahoo.com.br
⁴ Universidade Federal de Pelotas – luizasantanari@gmail.com
⁵ Universidade Federal de Pelotas – bnoremberg@gmail.com
⁶ Universidade Federal de Pelotas – g_maron@hotmail.com
⁷ Universidade Federal de Pelotas – margareterfg@gmail.com

1. INTRODUÇÃO

As vantagens dos materiais poliméricos são muitas e, segundo JAMSHIDIAN (2010), as conveniências que encorajaram as indústrias a utilizá-los como matéria prima são o baixo custo, as elevadas velocidade de produção e de performance mecânica, as boas propriedades de barreira e a boa selabilidade ao calor.

Para que os materiais poliméricos sejam convertidos em produtos são utilizadas diversas tecnologias de processamento, onde destacam-se a injeção, a extrusão e a moldagem por sopro, que garantem a elevada produtividade e o baixo custo desejado pela indústria (HAMAD, 2015). Entretanto esses processos utilizam temperaturas elevadas para promover a fusão do polímero, o que pode provocar a degradação do material, resultando em defeitos de moldagem como linhas de solda, descoloração e odores fortes no produto final. Em compósitos a base de polímeros com cargas orgânicas, como por exemplo o WPC ("Wood Plastic Composites"), que é um compósito que utiliza polímeros termoplásticos e como reforço serragem de madeira, no processado de conformação por extrusão utilizam-se temperaturas < 180°C para evitar que a degradação da madeira. Tal situação limita a escolha dos polímeros para a matriz bem como os parâmetros de processamento (BURGSTALLER, 2007).

Em contrapartida, os materiais cerâmicos apresentam elevada estabilidade térmica, o que faz deles excelentes candidatos para utilização em polímeros fundidos e é possível obtê-los sem a necessidade de elevadas temperaturas por uma série de rotas, como sol-gel, precipitação e síntese hidrotérmica. Dessas destacamos a última, que permite a cristalização de substâncias em soluções aquosas, e quando assistida por micro-ondas admite a síntese em baixas temperaturas, em curto espaço de tempo, com diferentes tamanhos e formatos de partículas, com elevada produtividade e uniformidade (KHARISOV, 2012).

No presente trabalho, visando uma solução para a degradação de cargas orgânicas, pesquisa-se a possibilidade de síntese e impregnação de fibras de celulose com dióxido de titânio (TiO₂), utilizando-se do processo hidrotermal assistido por micro-ondas, de forma a possibilitar o uso da celulose impregnada como reforço em compósitos poliméricos produzidos por meio de injeção/extrusão.

2. METODOLOGIA

A celulose utilizada no desenvolvimento dessa pesquisa foi extraída de talos de banana, que foram inicialmente desmenbrados, lavados e tiveram removidos o exocarpo (Figura 1).

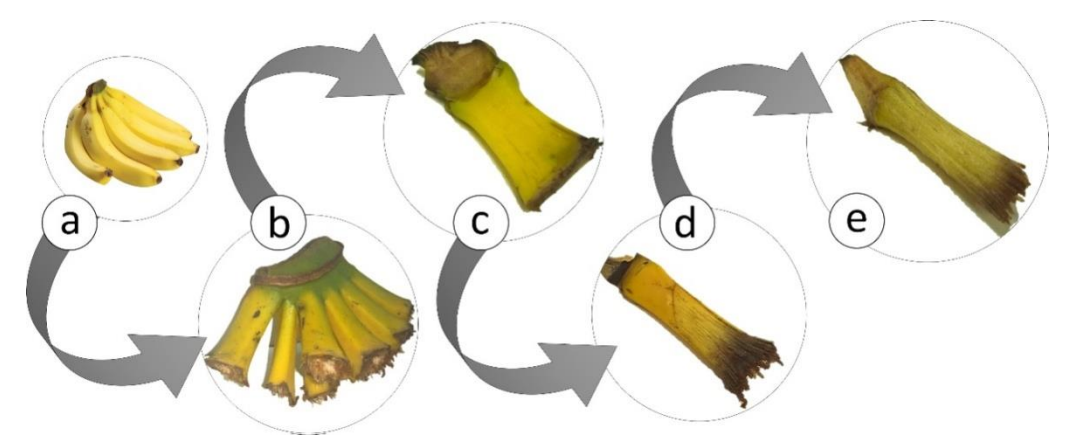


Figura 1 - Etapas de preparação dos p talos: (a) Penca de bananas; (b) Coroa extraída da penca; (c) Talo desmembrado da coroa; (d) Corte demonstrando região onde o exocarpo foi removido; (e) Talo sem exocarpo.

O talo sem o exocarpo foi processado em uma autoclave vertical da marca Phoenix modelo AV-18 por 4 horas em uma pressão de 1,5 kgf/cm² e uma temperatura de 127°C. Posteriormente, os talos autoclavados foram macerados mecanicamente com um liquidificador de alta rotação da marca Metvisa modelo LQ.25 utilizando uma proporção de água/talos de 1/5 (v/v).

A polpa obtida foi lavada por sucessivas vezes até a completa remoção dos resíduos (açúcares oxidados, etc.) e seca em uma estufa por 48 horas à 50°C ±10°C. Para a obtenção das fibras de celulose fez-se a remoção da lignina e o branqueamento da polpa. Para tanto, a polpa foi colocada em uma solução de clorito de sódio 0,1 mol/L com pH ajustado para 5 (utilizando ácido acético) em uma proporção de 1 parte de fibra para 10 de solução (p/p). A mistura foi mantida à 70°C sob agitação vigorosa por 3 horas, utilizando um agitador mecânico eletrônico da marca Quimis. Após, a polpa foi filtrada e lavada sucessivas vezes, utilizando água deionizada, até que o pH chegasse em 7. A utilização do Clorito de Sódio, segundo ELANTHIKKAL, et al. (2010), promove a quebra dos anéis fenólicos e dos componentes cromóforos, o que leva a oxidação e posterior solubilização da lignina, restando apenas os componentes não soluveis, como a celulose.

A polpa celulósica obtida, foi dispersa em água, em uma proporção de 1/5 (p/p), congelada e então seca por liofilização, em um equipamento da marca Liotop modelo L101. A utilização do processo de secagem que não envolve o uso de calor se deve ao fato de que segundo PA'E, N. Et al. (2014) o processo de liofilização preserva a estrutura porosa e garante as fibras um melhor conjunto de propriedades (cristalinidade, resistencia mecânica, capacidade de absorsão) em relação a processos que utilizam temperaturas elevadas.

Para a síntese e impergnação de TiO₂ sobre as fibras celulósicas, utilizou-se a metodologia adotada por WANG, H. et al. (2011), que produziu partículas nanoestruturadas de TiO₂ utilizando o método hidrotérmico assistido por microondas. Dessa forma, dispersamos a celulose obtida após a liofilização em acetona, onde verteu-se um mistura de isopropóxido de titânio com etilenoglicol, em uma proporção de 1/40 (v/v) sob vigorasa agitação durante 15 minutos. A solução foi então envelhecida por 1 hora, centrifugada e lavada, diversas vezes, utilizando etanol para

então ser seca por 24 horas em estufa a 60°C. O material resultante foi colocado em um reator de PTEF junto com uma mistura de alcool absoluto e água 1/1 (v/v) e inserido em um equipamento de microondas da marca Eletrolux modelo MEF41 adaptado para sintese hidrotérmica onde permaneceu por 20 minutos à uma temperatura de 160°C ±5°C. Após a sintese o material foi novamente centrifugado e lavado sucessivas vezes e então seco em estufa à 60°C por 24 horas.

Para a caracterização do material foi utilizada a microscopia eletrônica de varredura que permitiu investigar a superfície das fibras antes e após o processo de síntese, verificar o tamanho das partículas depositadas e o mapeamento da superfície por EDS para verificar a presença e dispersão do TiO₂.

Estão em andamento os ensaios de difração de raios-X para verificar a cristalinidade e fase do material obtido, espectroscopia de infravermelho para a caracterização química da celulose utilizada e analise termogravimétrica para verificar as propriedades térmicas do material.

3. RESULTADOS E DISCUSSÃO

A Figura 2 apresenta as imagens obtidas por microscopia eletrônica de varredura das fibras obtidas após a liofilização, onde observamos que as fibras apresentaram um formato de fita, com uma largura média de 30,44 µm (± 4,04). A morfologia de fitas é resultado da ligação entre diversas fibrilas elementares, formando as macrofibrilas (DING, S. 2013). Também podemos observar a presença de fibrilas que se desprenderam das fitas de macrofibrilas com diâmetro médio de 212,83 nm (±62,39).



Figura 2 - Micrografias das fibras celulósicas (a) 100x; (b) 1000x; (c) 5000x;

A Figura 3 apresenta a microscopia eletronica de varredura das fibras após o processo de sintese hidrotérmica de TiO₂, onde foi possível observar que ocorreu o crescimento de partículas de formato esférico com diâmetro médio de 198,11 nm (± 16,17), contudo o recobrimento não ocorreu de forma uniforme sobre as fibras.

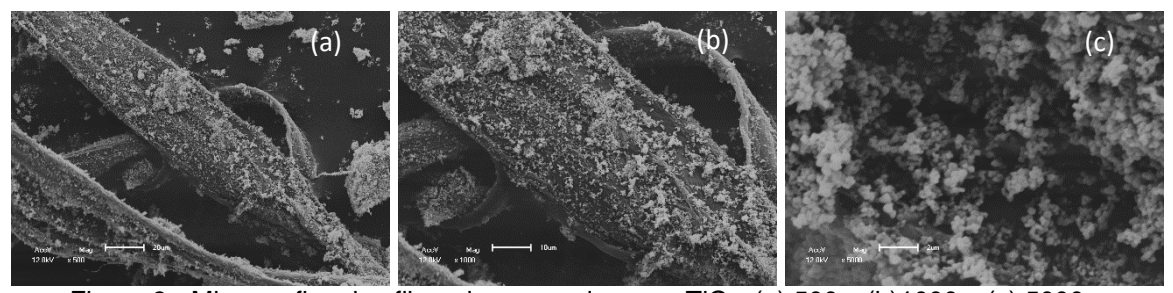


Figura 3 - Micrografias das fibras impregnadas com TiO₂: (a) 500x; (b)1000x; (c) 5000x;

As demais caracterizações ainda estão sendo executadas, contudo segundo WANG, H. et al. (2011) a metodologia utilizada é eficaz na produção de TiO₂ nanoestruturado, e as análises prévias de microscopia demonstraram que as partículas recobriram, pelo menos em parte, a superfície da fibra celulósica utilizada.

4. CONCLUSÕES

Os resultados parciais, até então obtidos, demonstram que:

- A metodologia utilizada demonstrou-se eficaz para a obtenção de fibras celulósicas a partir de talos de banana;
- As fibras celulósicas obtidas apresentaram-se na forma de fitas;
- Foi possível utilizar as fibras como substrato para o crescimento de esferas de TiO₂:
- A técnica mostrou-se promissora para a impregnação das fibras com partículas cerâmicas.

5. REFERÊNCIAS BIBLIOGRÁFICAS

BURGSTALLER, C.; Processing of thermal sensitive materials—a case study for wood plastic composites. **Monatshefte für Chemie-Chemical Monthly**, v. 138, n. 4, p. 343-346, 2007.

ELANTHIKKAL, S., GOPALAKRISHNAPANICKER, U., VARGHESE, S., & GUTHRIE, J. T. Cellulose microfibres produced from banana plant wastes: Isolation and characterization. **Carbohydrate polymers**, v. 80, n. 3, p. 852-859, 2010.

DING, S. Y.; ZHAO, S.; ZENG, Y.; Size, shape, and arrangement of native cellulose fibrils in maize cell walls. **Cellulose**, v. 21, n. 2, p. 863-871, 2014.

HAMAD, K.; KASEEM, M.; YANG, H. W.; DERI, F.; KO, Y. G.; Properties and medical applications of polylactic acid: A review. **Express Polymer Letters**, v. 9, n. 5, p. 435-455, 2015.

JAMSHIDIAN, M., TEHRANY, E. A., IMRAN, M., JACQUOT, M. AND DESOBRY, S. Poly-Lactic Acid: Production, Applications, Nanocomposites, and Release Studies. **Comprehensive Reviews in Food Science and Food Safety**. v. 9, n. 5, p. 552–571, 2010.

KHARISOV, B. I.; KHARISSOVA, O. V.; MÉNDEZ, U. O. Microwave hydrothermal and solvothermal processing of materials and compounds. INTECH Open Access Publisher, 2012.

PA'E, N., HAMID, N. I. A., KHAIRUDDIN, N., ZAHAN, K. A., SENG, K. F., SIDDIQUE, B. M., & MUHAMAD, I. I Effect of different drying methods on the morphology, crystallinity, swelling ability and tensile properties of nata de coco. **Sains Malaysiana**, v. 43, n. 5, p. 767-773, 2014.

WANG, H. E.; ZHENG, L. X.; LIU, C. P.; LIU, Y. K.; LUAN, C. Y.; CHENG, H.; Rapid microwave synthesis of porous TiO2 spheres and their applications in dye-sensitized solar cells. **The Journal of Physical Chemistry C**, v. 115, n. 21, p. 10419-10425, 2011.